

# RP 593

Rapport préliminaire, géologie de la région du lac Lagacé

Documents complémentaires

*Additional Files*



Licence



Licence

Cette première page a été ajoutée  
au document et ne fait pas partie du  
rapport tel que soumis par les auteurs.

Énergie et Ressources  
naturelles

Québec 



GOUVERNEMENT DU QUÉBEC  
MINISTÈRE DES RICHESSES NATURELLES  
DIRECTION GÉNÉRALE DES MINES

SERVICE DE L'EXPLORATION GÉOLOGIQUE

---

GÉOLOGIE

de la

RÉGION DU LAC LAGACE

RAPPORT PRÉLIMINAIRE

par

Roger Charre





GOVERNEMENT DU QUÉBEC  
MINISTÈRE DES RICHESSES NATURELLES  
DIRECTION GÉNÉRALE DES MINES

SERVICE DE L'EXPLORATION GÉOLOGIQUE

## GÉOLOGIE

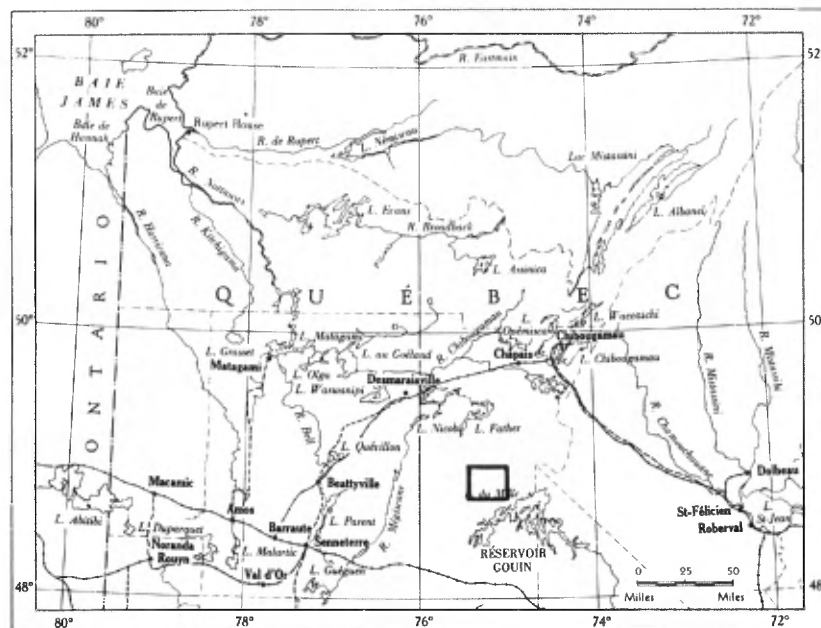
de la

# RÉGION DU LAC LAGACE

RAPPORT PRÉLIMINAIRE

par

Roger Charre





## Région du lac Lagacé

par

Roger Charre

---

### INTRODUCTION

La région du lac Lagacé, cartographiée pendant l'été 1969, se situe dans le comté d'Abitibi, à 100 milles au nord-est de Senneterre, sensiblement à égale distance entre Senneterre et Chibougamau.

Elle est couverte par la carte topographique provisoire 32 B/14 à l'échelle de 1:50,000. D'une superficie de 392 milles carrés, elle est limitée par les parallèles 48°45' et 49°00' et par les méridiens 75°00' et 75°30' ouest.

Le moyen d'accès le plus pratique est l'hydravion à partir des bases de Senneterre ou Chibougamau. On peut aussi y accéder par canot en empruntant les rivières Kekek, Mégiscane et Pascagama à partir de la station de Bourgmont sur la ligne de chemin de fer Québec-Val-d'Or, à environ 80 milles à l'est de Senneterre. Un chemin d'hiver partant des environs de Bourgmont rejoint la partie nord-ouest du terrain. Les déplacements dans la région elle-même sont malaisés: aucun chemin n'existe et la rivière Pascagama est coupée de très nombreux rapides. Cependant, des lacs nombreux permettent d'accéder par hydravion à toutes les parties du terrain.

Le relief est très peu accentué. Les régions ouest et nord-ouest sont occupées par des marécages à des

altitudes entre 1,300 et 1,400 pieds. La région sud-est est semée de collines dont le versant nord-ouest est généralement abrupt et forme souvent une falaise; le point culminant y atteint 1,939 pieds.

Au point de vue hydrographique, le terrain se trouve sur une ligne de partage des eaux. Le ruisseau de la Rencontre se jette dans le réservoir Gouin, lequel déverse ses eaux dans le Saint-Laurent via la rivière Saint-Maurice. Les eaux des rivières Pascagama et de l'Aigle vont se jeter dans la baie d'Hudson. Les cours d'eau sont, de ce fait, peu importants et coupés de rapides et les lacs n'ont que de faibles dimensions. Seuls les lacs de la Rencontre et Larouche au sud-est et le lac Lacroix au nord-ouest ont quelque importance.

#### GEOLOGIE GENERALE

Dans l'ensemble de la région étudiée, les formations glaciaires non consolidées (dépôts hétérométriques, moraines, eskers) sont abondantes et masquent souvent les formations cristallines. En nous basant sur des critères structuraux et minéralogiques, nous avons distingué six types de roche.

#### Amphibolites

Celles-ci se présentent sous différents faciès. Dans la partie nord de la région, où ils forment des langues s'insinuant dans les autres formations, on rencontre des faciès contenant de l'amphibole, du feldspath, de l'épidote, du grenat et du quartz. Ces amphibolites à grains très fins et orientés présentent un rubanement qui indique la présence de plis isoclinaux, surtout là où ceux-ci sont soulignés par des niveaux de quartz. L'orientation de la hornblende est identique à celle des axes des plis isoclinaux. Localement, des intercalations centimétriques ou décimétriques de quartzites impurs à muscovite peuvent prendre une certaine importance.

On trouve aussi ces amphibolites dans la partie sud où ils s'intercalent dans les gneiss à hornblende ou

<p>PLEISTOCENE et HOLOCENE</p>	<p>Dépôts glaciaires</p>	<p>Moraines, eskers</p>
<p>Discordance</p>		
<p>PRECAMBRIEN</p>	<p>Gabbro</p>	
	<p>Granite à biotite</p>	<p>gneissique contenant du quartz et de la muscovite  leucocrate avec muscovite</p>
	<p>Granodiorite</p>	<p>gneissique finement grenue</p>
	<p>Gneiss à hornblende</p>	<p>avec biotite et, parfois, grenat rubané avec lentilles d'amphibolite</p>
	<p>Gneiss à biotite</p>	<p>à texture rubanée à texture granitique</p>
	<p>Amphibolite</p>	<p>finement grenue ou rubanée; parfois interstratifiée avec des quartzites impurs à muscovite; parfois granulaire ou massive.</p>



les gneiss à biotite; ils sont cependant de faible importance et n'ont pas tous été indiqués sur la carte.

Des faciès finement grenus homogènes, généralement recoupés par des filons de pegmatite ou d'aplite, affleurent au sud du lac Lacroix. Des faciès massifs à cristaux centimétriques sont souvent associés aux métagabbros. Ils sont à amphibole largement dominante, feldspath, grenat et quartz.

### Gneiss à biotite

Dans la région du lac Buteux, les gneiss à biotite ont une texture granitique et sont à grain moyen. On y distingue cependant un litage flou, souvent plissé, ou une orientation nébulitique. Ils incluent des amas pegmatitiques diffus. A côté du quartz, du feldspath et de la biotite, on trouve de la muscovite, de la chlorite, parfois un peu de grenat et d'épidote.

Dans la partie sud de la région, les gneiss à biotite prennent une grande extension; ils sont plus hétérogènes et le grain varie de fin à grossier; ils peuvent être homogènes, franchement lités ou nébulitiques. Ils sont à quartz, feldspath, biotite, rarement à grenat. Localement, ils sont étroitement associés aux gneiss hétérogènes à amphibole. On y distingue des plis isoclinaux et dissymétriques qui intéressent le litage et une foliation minérale indépendante du litage et des plis isoclinaux.

### Gneiss à hornblende

Ce sont des roches très hétérogènes, parfois finement rubanées ou à alternance décimétrique. Elles se composent de bandes mafiques où la hornblende est le principal constituant et de bandes quartzofeldspathiques hololeucocrates qui sont parfois nébulitiques ou à enclaves d'amphibolite grenue. De grain moyen à grossier souvent hétérogranulaire, elles sont constituées de quartz, feldspath, hornblende, biotite, grenat et, localement au nord, d'épidote. On y distingue une foliation minérale, des plis isoclinaux qui déforment le litage et, dans le canton de Lacasse, des plis dissymétriques qui déforment les plis précédents.

### Granodiorites

Ce sont des roches bien reconnaissables, homogènes et de grain moyen à petit; elles renferment du feldspath automorphe, de l'amphibole, de la biotite (souvent chloritisée) et du quartz. Elles peuvent présenter localement une orientation planaire (granodiorite gneissique), voire une mylonitisation.

On trouve associé un faciès à grain très fin, gris souris devenant blanchâtre par altération, où l'on reconnaît cependant de l'amphibole, du feldspath parfois automorphe, de la biotite ainsi que de la pyrite souvent abondante. Ce faciès se localise dans des filons à contact franc ou diffus et en bordure de la granodiorite qui affleure largement dans la partie nord du terrain. Celle-ci inclut également des niveaux de gneiss fins à biotite, obliques sur la schistosité. Les contacts observés avec les amphibolites finement grenues sont francs, la granodiorite s'insinuant parfois dans un système de diaclases.

### Granites à biotite

Ils affleurent abondamment au nord-ouest, dans la région du lac Lacroix. Il s'agit de granites gneissiques présentant une vague orientation minérale. Le faciès typique, à gros grain, contient du quartz, du feldspath, de la biotite souvent chloritisée et de la muscovite. Le grain s'affine au sud. Vers la ligne séparant les cantons de Lacroix et de Buteux, on distingue un faciès leucocrate à quantité accrue de muscovite et de chlorobiotite.

Les contacts observés avec les amphibolites, les gneiss à hornblende et la granodiorite sont francs et se font souvent par l'intermédiaire d'aprites ou de pegmatites qui recouper ces formations.

Les pegmatites et les aprites à muscovite sont abondantes. Elles recouper le granite et les formations encaissantes et s'organisent souvent en un système de filons orthogonaux qui se recoupernt mutuellement.

Des amas pegmatitiques diffus se rencontrent également dans les gneiss à biotite et les gneiss à hornblende sur toute l'étendue du terrain.

### Gabbros

Il s'agit très généralement de métagabbro à amphibole, plagioclase et grenat. Ces gabbros sont généralement à grain assez fin et la structure doléritique est toujours bien reconnaissable. Ils forment de petits filons-couches concordants de faible puissance, dont l'un a été suivi sur plusieurs milles de longueur dans le sud-ouest de la région, et s'encaissent dans toutes les formations. Le contact se fait généralement par l'intermédiaire d'une bordure d'amphibolite à grenat. Les gabbros émettent des filonnets recoupants de diabase qu'on retrouve également isolés, notamment dans la partie nord du terrain sous étude.

### TECTONIQUE

Les observations de terrain et l'analyse structurale mettent en évidence l'existence d'au moins deux phases successives de déformation. La phase la plus ancienne, vraisemblablement de direction nord-sud, intéresse le litage; elle est caractérisée par l'existence de plis isoclinaux très reconnaissables dans les amphibolites et les gneiss. Elle serait accompagnée de phénomènes de cristallisation, tels que l'orientation des amphiboles suivant les axes de plis isoclinaux dans les amphibolites litées.

La deuxième phase, sensiblement est-nord-est, disperse les éléments d'orientation de la première phase tels que plan axial et axe de plis isoclinaux, linéation minérale des amphibolites, etc. Elle se caractérise par des plis dissymétriques subverticaux ou légèrement déversés dont les flancs SSE et NNW sont respectivement longs et courts. Ces plis sont bien visibles à différentes échelles dans la partie sud-est du terrain où certaines collines allongées présentent un relief conforme à ce type de plis: le versant nord-ouest, abrupt, correspond à des pendages subverticaux qui deviennent horizontaux au sommet et plongent avec une faible inclinaison vers le sud-est suivant le versant de même orientation. Cette phase s'accompagne de phénomènes de cristallisation métamorphi-

que notamment dans les gneiss à biotite et les gneiss à hornblende dont l'orientation des minéraux est parallèle au plan axial des plis dissymétriques.

Sur la carte, le contour des formations s'explique comme le résultat de l'interférence de ces deux phases.

La deuxième phase s'observe aisément dans le sud-est de la région où les gneiss à biotite et les gneiss à amphibole, ainsi que les pendages, révèlent une succession d'anticlinaux et de synclinaux dissymétriques orientés est-nord-est. Quant à la phase nord-sud, elle est marquée par l'alignement, suivant cette direction, d'inflexions indiquées tant par le contour des formations que par le pendage.

#### GEOLOGIE ECONOMIQUE

Trois groupes de claims ont anciennement été jalonnés dans le canton de Buteux à la limite nord du terrain. Des travaux de décapelage y ont été effectués.

Dans les claims Sigouin-Griffith ("A" sur la carte), un réseau de filonnets de quartz et de diabase s'encaisse dans la granodiorite gneissique et quelque peu mylonitisée. Le faciès à grain fin affleure également à proximité. De la pyrite est disséminée en faible quantité dans le quartz filonien. Des traces d'or natif auraient également été identifiées (Freeman, 1943).

Dans les claims Griffith (B), les filonnets de quartz minéralisés en pyrite s'encaissent dans les amphibolites grenatifères et les quartzites à muscovite qui s'y intercalent. Une analyse chimique effectuée dans ce quartz a relevé une faible teneur en or (Freeman, 1943).

Les claims Golden Eagle Syndicate (C), situés à un demi-mille à l'ouest des précédents, contiennent des filonnets de diabase et de quartz encaissés dans le faciès fin de la granodiorite. L'analyse de cette roche aurait révélé une faible teneur en or (Freeman, 1943).

En 1965, Southwest Potash Corp. a fait un levé magnétique et un levé électromagnétique (Londry, 1965) dans son groupe de claims près de la limite nord de la région (groupe 6) et y a foré un trou de 89 pieds (Gallagher, 1965). La présence de pyrrhotine a été décelée dans les amphibolites à grain fin à proximité du contact avec la granodiorite.

Les traces de minéralisation que nous avons relevées dans la région sous étude, consistent essentiellement en imprégnations de pyrite et pyrrhotine dans les méta-gabbros et le faciès fin associé à la granodiorite. De la pyrite apparaît également dans des remplissages quartzeux et chloriteux de fractures, notamment dans la granodiorite qui affleure au sud-est du canton de Buteux (M sur la carte).

#### BIBLIOGRAPHIE

- |                      |  |
|----------------------|--|
| FREEMAN, D.C. (1943) | -Région de Buteux, Min. des Richesses nat. du Québec, R.G. No. 15.       |
| GALLACHER, J. (1965) | -Journal de sondage, Min. des Richesses nat. du Québec, GM-16782.        |
| LONDY, J. (1965)     | -Rap. géol. et géophysique, Min. des Richesses nat. du Québec, GM-16781. |
| MILNER, R.L. (1943)  | -Région de lac Berry, Min. des Richesses nat. du Québec, R.G. No. 14.    |

RESULTATS D'ANALYSE EN P.P.M.														
		Cu	Zn	Pb	Mo	Ni	U(1)	Co	W	Mn(2)	Sn	Au	Ag(1)	Sb
1	1189	0	25	10	0	7	5	0		5	0		0	4
2	1187	0	25	10	0	24	X	4		X	X		X	X
3	1188	0	15	4	0	8	5	4		14	0		0	0
4	1176	0	15	10	8	7	5	2		X	X		X	X
5	972	10	50	100	0	15	40	10		49	X		9	4
6	973	0	15	40	0	15	20	8		X	X		X	X
7	898	0	75	60	0	10	5	0		30	0		4	0
8	899	0	40	40	0	3	5	0		10	0		6	0
9	909	10	5	16	0	8	10	0		28	2		0	4
10	900	4	50	30	0	13	5	0		66	6		6	0
11	901	10	50	16	0	25	20	0		41	0		9	0
12	903	4	50	30	1	18	40	30		180	2		0	5
13	910	6	10	20	0	18	10	0		12	2		6	0
14	908	10	10	20	0	18	40	0		55	0		0	0
15	1050	0	15	10	0	5	0	0		4	X		0	0
16	1049	6	100	40	0	35	0	55		X	0		X	X
17	838	2	10	20	0	6	X	0		X	X		X	X
18	837	2	10	20	0	X	X	X		X	X		X	X
19	834	2	5	20	0	3	5	0		25	0		0	0
20	835	4	50	20	0	3	10	0		X	0		X	X
21	831	2	15	4	0	3	X	0		X	X		X	X
22	832	4	10	10	0	X	X	X		X	X		X	X
23	836	4	5	24	0	3	20	0		6	0		4	0
24	1042	4	40	60	0	12	X	7		X	X		X	X
25	881	0	0	16	0	X	X	X		X	X		X	X
26	970	6	0	6	0	7	5	2		9	0		4	0
27	978	6	50	100	4	20	10	23		63	0		4	5
28	977	0	0	100	0	10	X	0		X	X		X	X
29	979	4	40	70	0	10	10	3		X	X		X	X
30	976	0	0	40	0	7	10	0		X	X		X	X
31	950	0	0	10	0	7	5	0		3	0		0	0
32	904	2	40	24	0	3	10	0		3	0		4	0
33	905	2	15	40	0	3	20	0		3	0		0	0
34	907	4	15	30	0	16	20	0		X	0		X	X
35	911	2	10	16	0	5	5	0		79	2		0	0
36	902	4	40	20	1	13	20	18		81	2		0	11
37	916	6	125	60	0	20	30	53		138	2		4	11
38	912	6	15	16	2	6	30	0		21	4		0	6
39	913	2	5	10	0	8	10	0		6	0		0	0
40	914	4	25	16	0	25	20	125		175	6		11	8
41	91	2	75	10	0	13	10	18		23	4		0	9
42	83	2	5	10	0	3	10	0		3	0		0	0
43	849	2	10	16	0	5	5	0		1	2		0	0
44	852	2	10	16	0	5	5	0		1	2		0	0
45	853	2	5	20	0	5	10	0		6	4		4	0
46	848	1	15	40	0	6	60	0		X	X		X	X
47	1056	0	15	10	0	X	X	X		X	X		X	X
48	1057	0	15	16	0	3	5	2		3	0		0	0
49	1041	0	15	20	0	3	5	0		2	0		0	0
50	1058	4	25	80	1	10	X	0		X	X		X	X
51	1059	6	50	40	0	10	5	0		5	0		4	4
52	1062	4	40	40	0	10	5	5		10	0		4	5
53	1190	0	40	16	0	10	X	0		X	X		X	X
54	1192	0	25	6	0	8	0	3		8	0		4	5
55	1191	0	40	10	0	12	0	5		11	X		0	5

Non décelé à l'analyse ou échantillon insuffisant

Non décelé à l'analyse ou échantillon insuffisant

RESULTATS D'ANALYSE EN P.P.M.

		Cu	Zn	Pb	Mo	Ni	U	Co	W	Mn	Sn	Au	Ag	Sb
56	1178	0	25	6	0	8	0	0		4	0		0	5
57	969	4	0	10	0	6	10	0		X	X		X	X
58	1179	0	25	10	0	6	0	0		4	0		0	4
59	1177	6	50	80	0	20	X	0		X	X		X	X
60	947	0	0	10	0	7	0	0		4	16		0	0
61	948	0	0	16	0	13	0	5		X	8		X	X
62	949	6	0	16	0	12	0	2		5	12		0	0
63	917	2	50	20	0	3	10	0		3	0		0	5
64	803	0	25	30	0	10	20	0		4	0		0	0
65	804	0	25	20	0	5	5	0		8	2		0	0
66	805	6	40	60	1	18	30	98		225	0		4	0
67	806	4	25	20	0	8	10	0		4	0		0	0
68	807	10	75	125	2	23	20	95		450	0		0	0
69	808	10	140	200	2	43	30	55		755	2		4	0
70	809	4	20	30	0	8	10	0		X	0		X	X
71	810	2	15	20	1	8	10	0		19	2		0	0
72	887	2	10	10	0	18	20	0		35	0		0	5
73	894	4	10	20	0	6	10	0		3	0		8	4
74	895	6	2	16	0	5	10	0		10	0		0	4
75	850	2	5	16	0	3	X	0		X	0		X	X
76	896	4	10	10	0	5	50	0		4	0		0	0
77	897	0	5	10	0	5	5	0		2	0		0	0
78	851	6	15	20	1	3	10	0		X	X		X	X
79	1060	2	50	40	0	12	0	4		5	X		4	0
80	1061	4	25	70	0	10	0	3		X	0		X	X
81	1066	4	15	40	0	7	0	0		4	0		0	0
82	1063	6	15	20	0	5	5	0		3	0		0	0
83	1065	4	50	80	0	12	0	2		6	0		0	5
84	886	6	0	80	0	X	X	X		X	X		X	X
85	964	0	0	10	0	6	5	2		3	0		0	0
86	885	0	0	24	0	X	X	X		X	X		X	X
87	968	0	0	16	0	3	0	0		2	0		0	0
88	880	0	0	10	0	3	0	0		4	8		0	0
89	1181	0	25	16	0	7	X	0		X	X		X	X
90	879	0	0	10	0	7	0	0		3	8		0	0
91	960	0	0	16	0	5	5	0		17	0		0	0
92	959	0	0	10	0	8	5	0		6	0		0	5
93	958	6	0	6	0	4	5	5		50	8		0	0
94	815	6	20	20	0	8	1	0		28	2		0	0
95	946	0	0	16	0	10	5	3		12	8		0	0
96	889	4	5	30	0	X	X	X		X	X		X	X
97	830	4	15	4	0	3	5	0		2	0		0	0
98	891	2	15	20	0	3	5	0		2	0		0	0
99	890	2	10	16	0	5	5	0		4	0		0	0
100	800	6	25	20	0	5	5	0		3	2		0	0
101	801	0	15	16	0	5	5	0		4	2		0	0
102	802	0	15	16	0	5	10	0		9	2		0	0
103	892	6	15	30	4	13	30	33		200	2		6	9
104	813	4	25	20	0	6	10	0		X	X		X	X
105	812	6	40	40	0	18	10	0		X	X		X	X
106	811	4	25	20	0	3	5	0		3	0		5	0
107	845	2	25	10	0	5	5	0		X	0		X	X
108	843	6	40	40	0	13	X	0		X	2		X	X
109	893	4	10	40	0	6	X	0		X	X		X	X
110	839	4	5	16	0	6	10	0		X	0		X	X

Non décelé à l'analyse ou échantillon insuffisant

Non décelé à l'analyse ou échantillon insuffisant

RESULTATS D'ANALYSE EN P.P.M.														
		Cu	Zn	Pb	Mo	Ni	U	Co	W	Mn	Sn	Au	Ag	Sb
111	840	2	75	6	0	5	5	0		3	4		0	0
112	842	6	10	20	0	16	20	0		X	2		X	X
113	841	4	10	6	0	8	5	0		10	0		0	0
114	1064	2	50	80	0	15	0	0		X	X		X	X
115	975	0	0	24	0	3	5	0		2	0		0	0
116	1198	0	25	6	0	10	0	4		X	0		X	X
117	882	0	0	20	0	10	X	2		X	0		X	X
118	884	6	0	20	0	12	X	5		X	0		X	X
119	883	0	40	60	0	10	0	10		X	12		X	X
120	1047	0	15	16	0	5	5	0		X	0		X	X
121	967	0	0	10	0	3	5	0		2	0		0	0
122	965	6	50	16	0	13	20	7		14	0		0	4
123	966	0	0	10	0	5	5	0		2	0		0	0
124	1180	0	15	10	0	5	0	0		3	X		0	0
125	962	0	0	10	0	7	5	2		3	8		0	0
126	961	0	0	16	0	5	5	2		4	0		0	5
127	963	0	0	80	0	8	20	5		X	X		X	X
128	860	4	15	20	0	8	0	5		18	0		0	0
129	858	4	10	40	0	5	0	0		4	0		0	0
130	859	2	5	20	0	8	0	0		6	2		0	0
131	816	6	25	16	0	8	2	0		20	14		0	0
132	817	4	15	16	0	5	3	0		10	2		0	7
133	818	2	15	20	0	8	5	0		8	2		11	7
134	819	4	20	16	0	8	5	0		7	2		7	8
135	820	2	15	20	0	3	5	0		2	0		0	0
136	814	10	20	10	0	6	10	0		X	0		X	X
137	829	2	5	6	0	3	5	0		3	0		0	0
138	821	2	10	20	0	3	5	0		3	0		0	0
139	822	6	15	30	0	0	10	0		5	0		4	0
140	823	2	10	16	0	3	10	0		5	0		0	0
141	828	6	10	6	0	3	5	0		2	0		0	0
142	827	4	15	60	0	0	10	0		3	0		0	0
143	857	2	5	16	0	5	5	0		3	0		0	5
144	854	4	5	20	0	5	0	0		3	2		0	4
145	855	6	10	16	0	10	0	0		X	X		X	X
146	856	4	40	30	X	X	X	X		X	X		X	X
147	846	4	25	40	0	8	X	0		X	0		X	X
148	1086	6	25	16	0	6	X	0		X	X		X	X
149	1097	0	10	6	0	5	0	0		3	0		0	4
150	1085	0	15	10	0	4	0	10		2	0		0	0
151	1087	6	60	400	0	10	X	35		X	X		X	X
152	1048	0	10	10	0	3	X	0		X	X		X	X
153	1089	0	60	4	0	8	X	17		X	X		X	X
154	1090	0	15	6	0	5	0	0		7	X		0	5
155	863	2	5	10	0	8	5	0		6	0		0	4
156	862	2	10	16	0	5	0	0		6	2		0	5
157	953	0	0	6	0	8	5	0		4	28		0	0
158	954	0	0	10	0	7	5	0		6	0		0	0
159	861	2	10	16	0	3	0	0		5	0		0	0
160	824	2	15	16	0	3	10	0		5	4		0	0
161	825	4	15	10	0	3	10	0		3	4		0	0
162	826	6	10	16	0	0	20	0		4	0		0	0
163	938	0	0	6	0	3	10	0		2	0		0	0
164	940	4	0	16	0	10	5	4		1	28		0	0
165	937	0	0	10	0	7	10	2		4	52		0	0

Non décelé à l'analyse ou échantillon insuffisant

Non décelé à l'analyse ou échantillon insuffisant



RESULTATS D'ANALYSE EN P.P.M.

		Cu	Zn	Pb	Mo	Ni	U	Co	W	Mn	Sn	Au	Ag	Sb
166	1067	6	25	10	0	23	0	17		5	0		0	0
167	1071	0	15	16	0	5	0	0		3	0		0	0
168	1068	0	25	10	0	8	0	0		5	0		0	0
169	1070	0	10	20	0	5	0	0		4	0		0	0
170	1069	0	15	16	0	5	0	0		X	X		X	X
171	982	0	0	20	0	8	20	0		3	X		0	0
172	996	0	0	40	0	6	5	2		3	0		0	0
173	994	0	0	40	0	7	5	0		3	0		0	0
174	1096	0	15	6	0	10	0	3		5	X		0	4
175	1092	0	15	16	0	6	0	0		3	0		0	4
176	1094	0	10	10	0	8	X	2		X	0		X	X
177	1091	0	25	10	0	6	X	0		X	X		X	X
178	921	0	0	30	0	13	10	2		X	28		X	X
179	922	0	0	20	0	4	5	0		4	0		0	0
180	920	0	0	16	0	8	5	0		X	0		X	X
181	877	0	15	20	0	3	5	0		6	2		7	0
182	919	0	0	20	0	5	5	2		X	0		X	X
183	876	0	15	16	0	3	5	0		4	0		8	0
184	878	0	10	16	0	5	10	0		11	0		0	4
185	952	6	15	20	0	10	5	3		7	20		0	4
186	951	0	0	10	0	5	5	3		3	0		0	0
187	874	0	15	20	0	3	5	0		3	0		0	0
188	957	0	0	16	0	2	X	0		X	0		X	X
189	1037	4	15	10	0	7	10	0		4	0		0	0
190	1038	0	0	6	0	3	5	0		1	0		0	0
191	1036	6	15	10	0	10	10	0		3	0		0	0
192	945	0	0	20	0	10	10	7		X	28		X	X
193	941	6	0	60	0	X	X	X		X	15		X	X
194	934	0	0	16	0	2	5	0		2	0		4	0
195	936	0	0	10	0	5	5	2		1	12		0	0
196	935	0	0	16	0	8	40	3		0	12		0	0
197	1084	0	25	10	0	7	0	25		X	X		X	X
198	997	0	0	20	0	12	X	7		X	X		X	X
199	998	0	0	16	0	13	20	5		6	0		4	0
200	999	0	50	80	0	10	X	5		X	X		X	X
201	990	0	0	10	0	5	5	0		3	0		0	0
202	989	6	0	20	0	7	5	0		3	X		0	0
203	991	0	25	20	2	10	5	5		10	0		4	5
204	981	0	0	10	0	3	0	0		5	0		0	5
205	980	0	0	16	0	X	X	X		X	X		X	X
206	1194	0	25	10	0	5	0	2		X	X		X	X
207	1193	0	60	10	0	6	X	3		X	X		X	X
208	1093	0	15	16	0	5	0	0		2	0		0	0
209	872	4	10	15	0	6	5	0		X	0		X	X
210	955	4	0	60	0	12	10	2		X	8		X	X
211	923	10	50	60	0	12	5	3		X	16		X	X
212	930	4	15	6	0	8	5	0		4	0		0	0
213	929	6	40	80	0	12	10	0		6	16		0	5
214	928	2	50	150	0	X	X	X		X	80		X	X
215	864	4	25	20	0	6	5	0		2	0		0	0
216	924	4	15	6	0	7	5	2		4	0		0	0
217	927	4	15	6	0	7	10	2		X	8		X	X
218	925	4	15	60	0	7	5	2		6	12		0	0
219	926	2	10	50	0	5	5	0		3	8		0	0
220	956	0	0	10	0	5	5	5		X	0		X	X

Non décelé à l'analyse ou échantillon insuffisant

Non décelé à l'analyse ou échantillon insuffisant

No de l'éch. sur la carte	No de l'échantillon	RESULTATS D'ANALYSE EN P.P.M.													
		Cu	Zn	Pb	Mo	Ni	U	Co	W	Mn	Sn	Au	Ag	Sb	
221	1031	0	50	80	0	10	X	4		X	X		X	X	
222	1035	4	25	40	0	8	20	2		7	0		0	0	
223	1040	4	50	80	0	15	X	10		X	X		X	X	
224	944	0	0	10	0	8	5	3		5	12		0	0	
225	943	0	0	10	0	6	5	2		1	8		0	0	
226	942	2	0	20	0	10	10	3		1	16		0	0	
227	1081	0	25	10	0	3	0	0		2	0		0	0	
228	1080	4	60	80	0	17	5	40		109	0		5	0	
229	1182	0	15	10	0	10	0	0		3	0		0	0	
230	1183	0	50	6	0	X	X	X		X	0		X	X	
231	1083	0	25	16	0	7	0	3		4	X		0	0	
232	1184	0	40	6	0	8	5	5		X	0		X	X	
233	985	0	0	16	0	5	5	0		4	0		0	0	
234	984	0	0	16	0	10	10	15		X	X		X	X	
235	1186	0	25	10	0	7	5	3		98	0		0	6	
236	1088	0	15	10	0	5	X	0		X	X		X	X	
237	875	0	10	20	0	8	X	0		X	0		X	X	
238	871	4	15	20	0	3	20	0		4	0		0	7	
239	869	2	10	40	0	3	5	0		3	6		0	0	
240	844	4	25	16	1	6	X	0		X	X		X	X	
241	868	4	15	20	0	3	5	0		2	0		0	0	
242	870	2	15	20	0	3	5	0		2	0		0	0	
243	867	4	5	40	0	10	20	0		X	0		X	X	
244	866	2	10	16	0	5	5	0		2	0		0	0	
245	865	2	5	10	0	5	5	0		2	2		0	0	
246	1074	0	10	10	0	8	0	2		2	0		0	0	
247	1077	0	25	10	0	10	5	0		6	0		0	4	
248	1073	0	15	16	0	3	0	0		3	0		0	0	
249	1032	0	25	50	0	10	10	12		10	0		0	0	
250	1033	0	0	30	0	5	5	0		3	0		0	0	
251	1034	0	50	6	0	5	10	0		2	0		0	0	
252	1078	0	15	6	0	5	0	0		2	0		0	6	
253	1053	0	15	16	0	7	X	0		X	X		X	X	
254	1079	0	15	8	0	7	0	0		X	0		X	X	
255	1039	0	15	6	0	3	5	0		2	0		0	0	
256	1052	0	25	10	0	3	0	0		2	0		0	0	
257	1082	0	50	10	0	10	0	17		X	X		X	X	
258	1185	0	50	16	0	10	5	5		X	0		X	X	
259	993	0	0	60	0	5	5	2		4	X		0	0	
260	992	0	0	16	0	3	5	0		X	X		X	X	
261	1046	0	25	16	0	7	0	0		5	0		0	4	
262	987	0	0	16	0	12	5	7		13	0		0	5	
263	983	6	0	20	0	23	10	8		16	0		0	5	
264	986	0	0	20	0	10	5	3		7	0		0	0	
265	873	2	10	10	0	3	5	0		3	2		0	0	
266	939	4	0	20	0	8	10	0		2	20		0	0	
267	932	2	10	16	0	4	10	0		3	8		0	0	
268	931	4	10	20	0	2	5	0		2	0		0	0	
269	1075	0	15	10	0	5	0	0		X	0		X	X	
270	1076	0	15	6	0	3	5	0		X	X		X	X	
271	1054	0	15	16	0	5	0	0		3	0		0	0	
272	1055	0	10	10	0	7	0	0		4	0		5	0	
273	1051	4	25	6	1	6	X	8		X	X		X	X	
274	988	6	50	20	0	20	5	13		60	0		0	5	

Non décelé à l'analyse ou échantillon insuffisant

Non décelé à l'analyse ou échantillon insuffisant

(1) Ag et U: parties par 10,000,000

X - pas de détermination

(2) Mn: parties par 100,000

0 - élément non décelé

